

## 鋼 I 型アーチ部材の挙動とフランジ断面の関係について

東北学院大学 学生員○香川 哲也  
東北学院大学 正会員 樋渡 滋

1. まえがき

我が国の道路橋示方書において、線形理論に基づいた概念規程のみであり、詳細な設計基準が示されていない。これは、曲面構造の基礎的研究の遅れによるものである。曲面フランジのような圧縮力を受ける曲面板に関する研究は散見されるものの、曲面フランジの曲率中心方向成分がウェブに与える影響など、フランジとウェブの相互作用を考慮した研究は少ない。本研究では、I型断面アーチ部材の特にフランジ断面に着目し、有限要素法による解析を行い、断面を構成する各パラメータが挙動および耐荷力に及ぼす影響を明かにし、アーチ系橋梁の設計の基礎的データを得ようとするものである。

2. 解析対象

水平補剛材を持たない一軸対称なI型断面を有するアーチ部材から、上下フランジも含めて垂直補剛材で囲まれる部分を取り出し、対称性を利用してパネルの右側半分を解析対象パネルとする（図1）。パネル材料としては普通構造用鋼SS400材を想定して、ヤング率 $E=2.1 \times 10^6 \text{Kgf/cm}^2$ 、降伏応力を $\sigma_y=2400 \text{Kgf/cm}^2$ 、ボアソン比 $\nu=0.3$ とした。また、材料非線形を考慮した弾塑性体を用い有限要素法で幾何学的非線形解析を行った。

作用力は載荷断面に軸方向に等分布に作用するものとする。

境界条件は、載荷断面が強固な垂直補剛材を有するものとして、載荷断面においてY、Z軸方向の変位およびX軸周りの回転を拘束、パネル中央断面でX軸方向の変位とY、Z軸周りの回転を拘束した。

解析に用いた各パラメータは、フランジ幅厚比 $\lambda_f (=b_f/t_f)$ とウェブ幅厚比 $\lambda_w (=h/t_w)$ 、フランジ総断面積とウェブ断面積の比 $A_f/A_w$ とする。また、本研究においては、道路橋示方書で想定されている最大の元たわみ値（フランジについては、 $W_{of}=b_f/100$ のねじりたわみ型、ウェブに関しては $W_{ow}=h/250$ の正弦半波形）を与えて解析を行った（図2）。

3. 解析結果および考察

以下の考察について、用いる用語について説明を行う。水平変位とはウェブ上下端のZ軸方向に生ずる変位の平均値であり、単位はcmである。横倒れ角はウェブの上下端のZ軸方向の変位をウェブ高で除してウェブの傾きを表現したものである。ねじれ角は、フランジのねじれを表現するために、フランジ両端の相対変位をフランジ幅で除した値である。また、各解析によって得られた最終荷重を桁の全塑性軸力で除した無次元化荷重を耐荷力と定義する。

$A_f/A_w$ が $0.10 \sim 0.40$ の場合には、耐荷力は1.00未満となる（図3）。このように $A_f/A_w$ が小さい場合には、部材の面外変位（水平変位）によって、フランジの鉛直軸周りの曲げモーメントが大きくなり、フランジの軸方向応力の分布は均一性を失って片側に偏る。特に下フランジにおいてはこの傾向が顕著で、結果として、フランジの片側のみに塑性化を生じて耐荷力を失う。このように $A_f/A_w$ の値が小さい（ $0.10 \sim 0.40$ ）場合にはフランジ断面

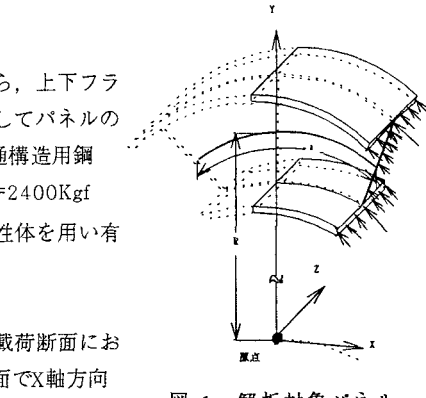


図-1 解析対象パネル

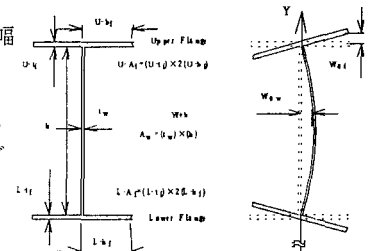
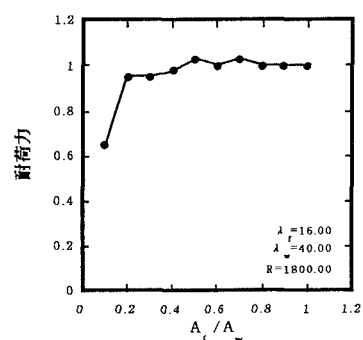


図-2 断面解説図

図-3 耐荷力・ $A_f/A_w$  Curve

積が不足して、各部材が効率よく働いているとはいえない。

$A_f/A_w$ の値が0.50～1.00の場合には、耐荷力は1.00となる。 $A_f/A_w$ の値が大きくなる場合には、フランジ断面積が大きくなり、部材の面外方向への曲げ剛性の増加により部材の面外変位（水平変位）を小さくすることができる。したがって、フランジの鉛直軸周りの曲げモーメントの影響が小さくなり、フランジの軸方向応力分布が比較的一様な等分布状態となり、部材全体に塑性化が拡がっている。このように $A_f/A_w$ を0.50～1.00とすることで各部材を効率よく働かせることができる。

$\lambda_w$ が35.0、30.0となる場合に耐荷力は、 $\lambda_w$ が40.0の場合と比べ $A_f/A_w$ に関係なく耐荷力は約0.1向上している（図-4）。本研究ではウェブ高が一定としていることから、 $\lambda_w$ を40.0以下とすることによってウェブ断面積が増加し、必然的にフランジ断面積が増加（断面二次モーメント）する。このことは耐荷力の低下に影響を与える部材の面外変位（水平変位）を減少させることができが挙げられ、部材の面外変位を抑えることによって、フランジに掛かる曲げモーメントの影響を小さくすることができるため、 $A_f/A_w$ の値が小さい場合でも比較的均一な軸方向応力分布となる。このことは部材における塑性化を一部に集中させないため、結果として高い耐荷力が得られる。したがって、 $A_f/A_w$ が小さい場合には、 $\lambda_w$ を40.0以下とすることで高い耐荷力が得られ、また効率よく部材を働かせることができる。

$\lambda_w$ を30.0、40.0とした場合に $\lambda_f$ を変化させた場合の耐荷力は、 $\lambda_w$ が30.0の場合に $\lambda_w$ が40.0の場合よりも全体的に高い耐荷力が得られる（図-5、6）。このことは前述したとおり、フランジの断面積（断面二次モーメント）の増加に伴ったものである。また、 $\lambda_w$ が30.0、40.0の場合に共通して起こる現象として、 $\lambda_f$ の値が22.0以上になると耐荷力が低下することが挙げられる。

このように $\lambda_f$ が22.0を超える場合に耐荷力が低下する要因となるものは、フランジの自由突出幅が大きすぎる、或いはフランジの板厚が薄すぎることから、フランジにおける面外方向への曲げ剛性の低下に伴うフランジ変形（ねじれ角）等が挙げられる。また、軸方向応力はフランジとウェブの接合部に集中し、その結果、フランジとウェブの接合部に塑性化を進行させ、このことが耐荷力の低下につながる。

$A_f/A_w$ の値が小さい場合には $\lambda_w$ を40.0以下とすることで耐荷力は向上できるものの、 $\lambda_f$ は22.0以下とすることが必要である。

#### 4. まとめ

1.  $A_f/A_w$ の値を0.50～1.00とすることにより、挙動（変形）を小さくすることができ、高い耐荷力が得られる。また、各部材を効率よく働かせることができる。
2.  $A_f/A_w$ の値が小さい0.20～0.50について、 $\lambda_w$ の値を40.0以下とすることで、高い耐荷力が得られる。
3.  $\lambda_w$ の値が40.0で、 $A_f/A_w$ の値が0.30以上であれば、 $\lambda_f$ の値を22.0以下とすることで挙動は安定する。しかし、 $\lambda_f$ の値によって耐荷力の大きな向上は望めない。
4.  $\lambda_w$ の値が30.0のときに40.0よりも挙動は安定し、高い耐荷力が得られるものの、 $\lambda_f$ の値が22.0以下としなければならない。

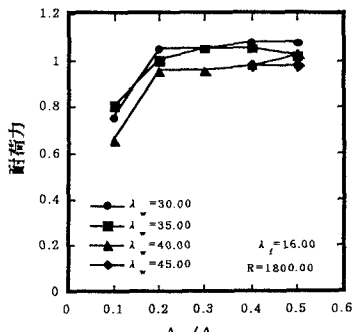


図-4 耐荷力・ $A_f/A_w$  Curve

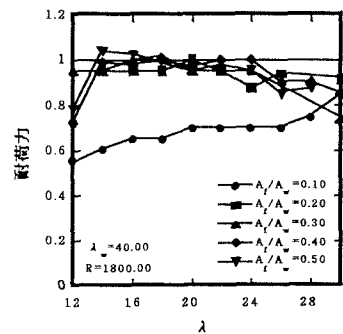


図-4 耐荷力・ $\lambda_f$  Curves

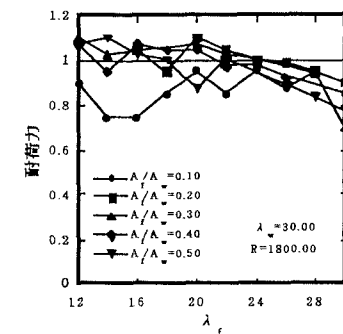


図-6 耐荷力・ $\lambda_f$  Curves